

Федеральное государственное автономное образовательное учреждение
высшего образования
«Московский физико-технический институт
(национальный исследовательский университет)»
Физтех-школа физики и исследований им. Ландау
Кафедра физики твердого тела

Направление подготовки / специальность: 03.03.01 Прикладные математика и физика

Направленность (профиль) подготовки: Общая и прикладная физика

ИССЛЕДОВАНИЕ ЭЛЕКТРОННОГО ТРАНСПОРТА В ПЛАНАРНЫХ МИКРОСТРУКТУРАХ С ДЖОЗЕФСОНОВСКИМИ КОНТАКТАМИ

(бакалаврская работа)

Студент:

Пауков Максим Игоревич

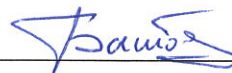


(подпись студента)

Научный руководитель:

Батов Игорь Евгеньевич,

канд. физ.-мат. наук



(подпись научного руководителя)

Консультант (при наличии):

(подпись консультанта)

Москва 2021

Аннотация

Целью дипломной работы являлось исследование зарядового транспорта в планарных субмикронных джозефсоновских SNS структурах с ниобиевыми берегами и барьерами из нормального металла (Cu) при низких (1.5-4.2K) температурах. В ходе выполнения работы были экспериментально изучены температурные зависимости вольт-амперных характеристик планарных джозефсоновских SNS структур. Проведено сравнение полученных экспериментальных данных с теоретическими расчетами в рамках модели зарядового транспорта в диффузионном планарном SNS контакте [F.S. Bergeret et al., *J. Low Temp. Phys.* **153**, 304, 2008]. Были проведены исследования ток-фазовых соотношений (ТФС) в планарных субмикронных джозефсоновских SNS контактах. Изготовленные для изучения ток-фазовых соотношений в планарных SNS контактах экспериментальные структуры представляли собой СКВИД, в одно из плеч которого включен исследуемый джозефсоновский SNS контакт с неизвестным ТФС и малым критическим током, при этом второй джозефсоновский контакт СКВИДа (SIS структура) имеет существенно больший критический ток и синусоидальное ТФС. В эксперименте измерялись магнитополевые зависимости критического тока двухконтактного СКВИДа. Ток-фазовое соотношение исследуемой джозефсоновской SNS структуры определялось из результатов эксперимента с помощью теоретического подхода, разработанного ранее в работе [Л.В. Гинзбург, И.Е. Батов и др., *Письма в ЖЭТФ*, **107**, с. 54-61, 2018].

Содержание

1	Введение	3
2	Теоретическая часть	6
2.1	Транспорт заряда через N-S границу	6
2.1.1	Уравнение Боголюбова	6
2.1.2	Андреевское отражение	7
2.1.3	Модель Блондера-Тинкхама-Клапвайка (ВТК)	8
2.2	Протекание сверхпроводящего тока в баллистических SNS контактах	11
2.2.1	Андреевские уровни	11
2.2.2	Сверхпроводящий ток в общем случае одномерного SNS-контакта	13
2.3	Учёт эффекта близости	16
2.4	Определение ТФС джозефсоновского контакта при помощи асимметричного СКВИДа	18
3	Экспериментальная часть	20
3.1	Изготовление образца	20
3.2	Методика измерений	21
4	Результаты измерений	22
4.1	Измерение вольт-амперных характеристик SNS-структур	22
4.2	Измерения ТФС SNS-контактов при помощи асимметричного СКВИДа	25
5	Заключение	28
	Список используемой литературы	29

1 Введение

Джозефсоновским переходом называют два сверхпроводника, связанные посредством слабой связи. Слабой связью принято называть участок сверхпроводящей цепи, в котором критический ток существенно подавлен. Она может быть реализована, например, в виде изолятора, металла (или полупроводника), ферромагнетика. Эта связь позволяет установить фазовую когерентность волновых функций сверхпроводящих электронов на берегах структуры.

В таких переходах можно наблюдать стационарный эффект Джозефсона, который заключается в бездиссипативном протекании тока через слабую связь. Слабая связь обеспечивает градиент фазы на сверхпроводящих берегах. В дальнейшем удобно ввести разность фаз волновых функций в сверхпроводниках (1 и 2 - номера берегов) $\varphi = \theta_1 - \theta_2$. Связь между током через слабую связь I_s и разностью фаз φ принято называть ток-фазовым соотношением $I_s(\varphi)$ (ТФС). Можно отметить несколько свойств ТФС:

- 1) при отсутствии тока отсутствует разность фаз: $I_s(0) = 0$;
- 2) изменение разности фаз на 2π параметра порядка (волновой функции сверхпроводящих электронов) на одном из электродов не меняет физического состояния системы, поэтому ТФС периодична $I_s(\varphi + 2\pi n) = I_s(\varphi)$;
- 3) смена знака тока приводит к смене знака разности фаз (в подавляющем большинстве случаев это так, но если в материале нарушена симметрия по обращению времени, то этот пункт не выполнен; тем не менее такие случаи не так часты и могут наблюдаться в «экзотических системах» типа сверхпроводников с d -симметрией волновой функции или SFS-контакт): $I_s(-\varphi) = -I_s(\varphi)$.

Наиболее общее выражение, определяющее ТФС, таким образом, представляется в виде ряда Фурье по синусам:

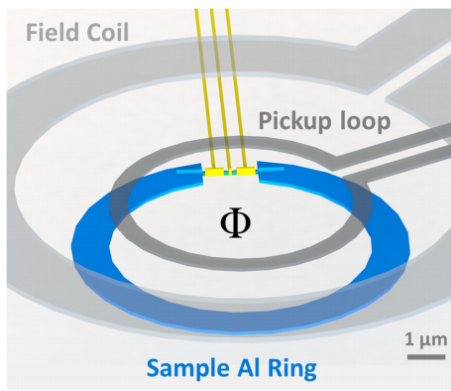
$$I_s(\varphi) = \sum_{n=1}^{\infty} A_n \sin(n\varphi) \quad (1)$$

Во многих случаях в ТФС остаётся только первая гармоника, т.е. $I_s(\varphi) = I_c \sin \varphi$. Однако известны ситуации, когда ТФС ведёт себя аномально [1].

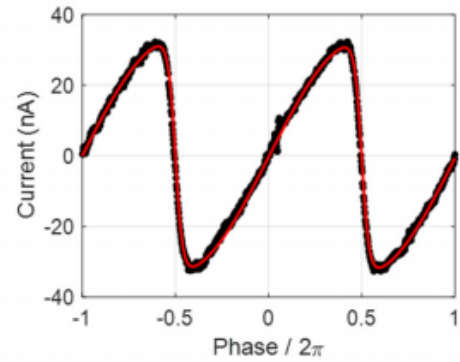
При помощи двух джозефсоновских контактов можно организовать двухконтактный СКВИД (от англ. SQUID - «superconducting quantum interference device», дословно «сверхпроводящее квантовое интерференционное устройство»). Он нашёл применение в области точных измерений напряжений и магнитных потоков.

В настоящее время актуальны исследования джозефсоновских контактов с аномальными ТФС, которые проявляются в различных гибридных структурах, где слабая связь может быть, например, топологическим изолятором или полупроводниковой нанопроволокой.

Например, в статье [2] представлены измерения ток-фазового соотношения в джозефсоновских контактах, реализованных на нанопроволоках InAs, при помощи СКВИД-микроскопа. Как видно на рис. 1, ТФС отлична от синусоидальной – это результат влияния андреевских уровней (подробное обсуждение см. в разделе «Теоретическая часть»).



а)



б)

Рис. 1: а) Экспериментальная установка. Джозефсоновский контакт: напылённое алюминиевое кольцо (выделено голубым цветом) со встроенной нанопроволокой InAs (выделена зелёным цветом) с металлическими затворами (выделены жёлтым цветом). Для измерения ТФС измерительная приёмная петля СКВИД-микроскопа располагается над структурой на расстоянии $1\mu m$. Ток, поданный в катушку (выделена светло-серым цветом), порождает магнитный поток через кольцо, обеспечивая разность фаз на сверхпроводящих берегах джозефсоновского контакта. Сверхпроводящий ток, циркулирующий в кольце, наводит сигнал, регистрируемый приёмной петлёй (выделена тёмно-серым цветом). б) Ток-фазовое соотношение джозефсоновского перехода (чёрные точки – эксперимент, красная кривая – теоретическая зависимость $I_c(\varphi)$) при наличии одного андреевского уровня. [2]

В статье [3] изучалась гибридная структура S-TI-S, где S – сверхпроводник, TI – 3D топологический изолятор. 3D топологический изолятор – это материал, который в объёме является изолятором, а на поверхности имеет проводящие состояния с бесщелевым конусовидным спектром подобно дираковскому спектру релятивистских электронов. Такая структура имеет аномальное ток-фазовое соотношение, обусловленное наличием андреевских связанных состояний в структуре (см. «Теоретическое введение»). Возможно также наличие связанных состояний в структуре, энергия которых меняется с изменением фазы на джозефсоновском переходе с периодом 4π . Такие состояния называются майорановскими связанными состояниями. Это может использоваться для создания топологического квантового компьютера. Джозефсоновская интерферометрия при помощи СКВИДа – это один из широко используемых способов исследования ТФС джозефсоновских контактов [3]. Авторы [3] проводят исследование ток-фазовой характеристики при помощи измерения осцилляций тока по полю в СКВИДе, чтобы показать, что ТФС перехода является асимметричной. Некоторые результаты этого исследования приведены на рис. 2.

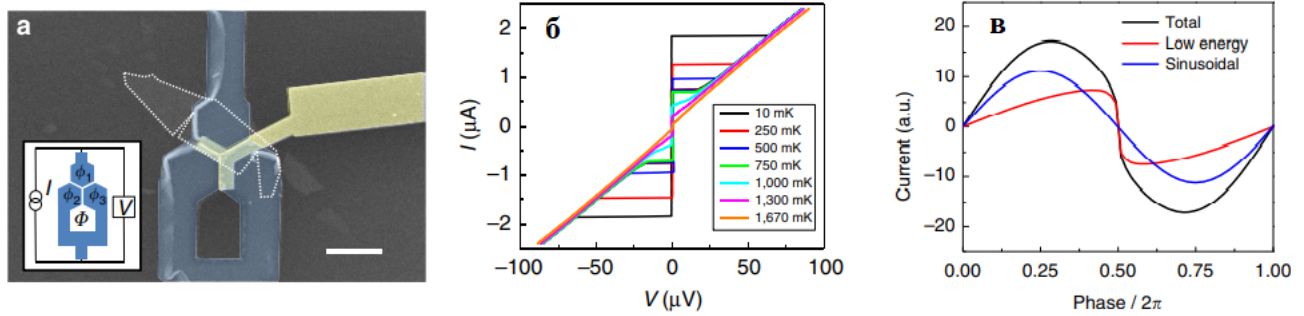


Рис. 2: а) СЭМ-изображение структуры. Пунктиром выделен тонкослойный образец топологического изолятора Bi_2Se_3 , затвор выделен жёлтым цветом, ниобиевые части СКВИДа выделены голубым цветом. На вставке обозначена схема структуры. б) Вольт-амперные характеристики джозефсоновского контакта S-TI-S при разных температурах при нулевом напряжении затвора и нулевом магнитном поле. в) Ток-фазовое соотношение S-TI-S структуры. Синим цветом выделен вклад в джозефсоновский ток от непрерывного спектра, красным цветом выделен вклад двух андреевских мод, чёрным – сумма вкладов в ток непрерывной и дискретной частей спектра. [3]

Исследования зарядового транспорта в гибридных структурах сверхпроводник-топологический изолятор и сверхпроводник-полупроводниковая нанопроволока с сильным спин-орбитальным взаимодействием (InAs) в настоящее время являются актуальными и привлекают значительный интерес в связи с перспективами создания принципиально новых типов приборов для квантовых вычислений [4].

Целью нашей работы в данном направлении является исследование ток-фазовых соотношений различных планарных субмикронных структур. Для её реализации в рамках бакалаврского диплома стояла задача проведения низкотемпературных исследований зарядового транспорта в планарных субмикронных джозефсоновских SNS структурах и освоения методики измерений зарядового транспорта в магнитном поле в асимметричных СКВИДах для определения ток-фазового соотношения планарных субмикронных SNS-контактов. Значение данного исследования заключается в освоении экспериментальных методик измерения СКВИДов на основе субмикронных планарных SNS и SIS джозефсоновских структур, а также ознакомлении с физическими процессами, которые влияют на ток-фазовую характеристику джозефсоновских переходов, для дальнейшей работы с более сложными объектами физики конденсированного состояния, например, джозефсоновскими переходами на основе топологических изоляторов, полупроводниковых нанопроволок.

Данная работа состоит из трёх частей. В первой отражены теоретические аспекты электронного транспорта в гибридных структурах, а также теоретические расчёты для определения ТФС исследуемых объектов (SNS-структур) по магнитополевым зависимостям асимметричного СКВИДа. Далее приводятся детали эксперимента: основы изготовления образцов и описания измерений. Затем приводятся экспериментальные результаты исследований, их анализ, выводы и обсуждение дальнейшей работы.

2 Теоретическая часть

2.1 Транспорт заряда через N-S границу

2.1.1 Уравнение Боголюбова

В 1957 Бардин, Купер и Шриффер предложили модель, описывающую возникновение сверхпроводимости. Они обнаружили, что два электрона с противоположными волновыми векторами и спинами формируют динамическое связанное состояние – куперовскую пару, образуемую посредством электрон-фононного взаимодействия. Куперовские пары, подчиняясь статистике Бозе-Эйнштейна, выпадают в конденсат в импульсном пространстве, т.е. макроскопическое число пар занимает основное состояние. Кинетическая энергия электронов при этом больше, чем в невзаимодействующем ферми-газе. В то же время электроны связываются в пары посредством электрон-фононного взаимодействия, и это приводит к уменьшению энергии системы. По этим причинам вероятность v_0^2 найти куперовскую пару ($\mathbf{k} \uparrow, -\mathbf{k} \downarrow$) при $T = 0$ имеет вид, отличающийся от «ступеньки» для ферми-газа невзаимодействующих частиц.

На рис. 3 изображена ситуация, когда в сверхпроводнике имеется два одночастичных возбуждения с волновыми векторами k_1 под поверхностью Ферми и k_2 над поверхностью Ферми, т.е. данные состояния заняты с вероятностью 1. Такие электроны не должны формировать пары, т.е. вероятность возбуждению иметь противоположный волновой вектор равна 0. Очевидно, что при k_1 система приобретает небольшой заряд. Это определяется из того, что состояние с k_1 занято с вероятностью 1 вместо v_0^2 , а состояние $-k_1$ занято с вероятностью 0 вместо v_0^2 . Этот вклад положителен, поэтому такое квазичастичное возбуждение (под поверхностью Ферми) является дырочноподобным. Наоборот над поверхностью Ферми – электронподобным.

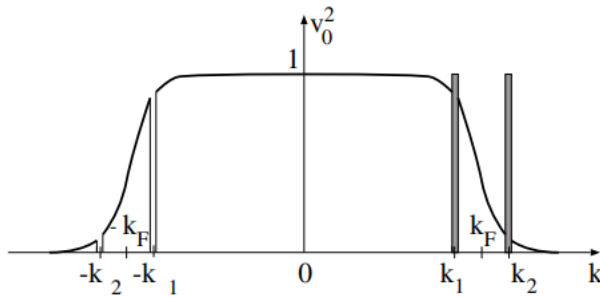


Рис. 3: Вероятность v_0^2 , что пара состояний ($\mathbf{k} \uparrow, -\mathbf{k} \downarrow$) занята (вдоль заданного направления \mathbf{k}). Изображены также два одноэлектронных возбуждения с волновыми векторами k_1, k_2 . [5]

Исчезновение сопротивления, т.е. подавление процессов рассеяния, в сверхпроводниках обусловлено преодолением энергетической щели Δ_0 между основным состоянием конденсата куперовских пар и спектром возбуждённых одноэлектронных состояний (см. рис. 4).

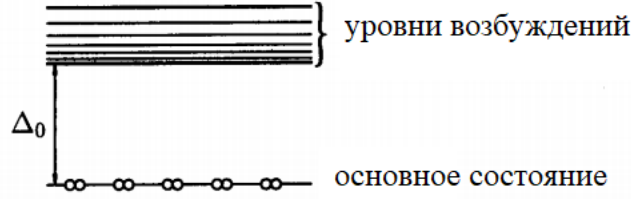


Рис. 4: Энергетическая диаграмма сверхпроводника. [6]

Квазичастичные состояния, введённые выше, могут быть описаны уравнением Боголюбова-де Жена:

$$\begin{pmatrix} H(\mathbf{r}) & \Delta(\mathbf{r}) \\ \Delta^*(\mathbf{r}) & -H(\mathbf{r}) \end{pmatrix} \begin{pmatrix} u_{\mathbf{k}}(\mathbf{r}) \\ v_{\mathbf{k}}(\mathbf{r}) \end{pmatrix} = E \begin{pmatrix} u_{\mathbf{k}}(\mathbf{r}) \\ v_{\mathbf{k}}(\mathbf{r}) \end{pmatrix} \quad (2)$$

Здесь одноэлектронный гамильтониан $H(\mathbf{r})$ определяется так:

$$H(\mathbf{r}) = -\frac{\hbar^2}{2m^*} \Delta + U(\mathbf{r}) - \mu, \quad (3)$$

где μ – электрохимический потенциал, m^* – эффективная масса частицы (в металлическом сверхпроводнике совпадает с массой свободного электрона), $U(\mathbf{r})$ – скалярный потенциал, а в формуле (2) $\Delta(\mathbf{r})$ – сверхпроводящая щель. Решение уравнения Боголюбова-де Жена – волновые функции электрон- и дырочноподобных квазичастиц, определяемые вектором $\begin{pmatrix} u_{\mathbf{k}}(\mathbf{r}) \\ v_{\mathbf{k}}(\mathbf{r}) \end{pmatrix}$. Тип квазичастицы в сверхпроводнике определяется по доминирующей компоненте этого вектора.

В большинстве случаев, например, в однородном сверхпроводнике, для которого $\Delta(\mathbf{r}) = \Delta_0$, в уравнении (2) можно провести подстановку, разделяющую переменные:

$$\begin{pmatrix} u_{\mathbf{k}}(\mathbf{r}) \\ v_{\mathbf{k}}(\mathbf{r}) \end{pmatrix} = e^{i\mathbf{k}\cdot\mathbf{r}} \begin{pmatrix} u_0 \\ v_0 \end{pmatrix} \quad (4)$$

Подстановка (4) в (2) с учётом (3) даёт:

$$u_0^2 = \frac{1}{2} \left(1 + \frac{\sqrt{E^2 - \Delta_0^2}}{E} \right), v_0^2 = 1 - u_0^2 \quad (5)$$

$$E = \pm \left[\left(\frac{\hbar^2 k^2}{2m_e} - \mu \right)^2 + \Delta_0^* \Delta_0 \right]^{1/2} \quad (6)$$

Анализ этих выражений показывает следующее:

- 1) когда $|\mathbf{k}| < k_F$ возбуждение является дырочноподобным ($|u_0|^2 < |v_0|^2$), иначе – электрон-подобным;
- 2) в спектре возбуждений есть энергетическая щель шириной Δ_0 , в которой нет одночастичных состояний.

2.1.2 Андреевское отражение

Рассмотрение процесса протекания квазичастичного тока через N-S границу начинается с изучения механизма андреевского отражения. Схематически он изображён на рис. 5. Пусть электрон с энергией $E < \Delta_0$, расположенной чуть выше уровня Ферми μ , движется к границе

раздела нормальной и сверхпроводящей фазы одного металла. Прохождение такого электрона через N-S границу не может быть осуществлено, поскольку справа, в сверхпроводнике, нет свободных состояний с энергиями меньше величины сверхпроводящей щели Δ . Нормальное отражение также запрещено, поскольку на границе раздела нет барьера (материал по обе стороны одинаков), который бы скомпенсировал изменение квазиимпульса электрона. Однако возможен следующий процесс: электрон отражается от границы как дырочное возбуждение в зоне проводимости металла, в то время как в сверхпроводнике рождается куперовская пара. Это происходит за счёт имеющегося электрона и ещё одного, взятого из-под поверхности Ферми.

Следует отметить, что андреевская дырка следует по траектории исходного электрона в обратном направлении, поэтому этот процесс называется *ретро-отражением*. Факт того, что электроны и дырки имеют разные направления групповых скоростей и заряды, влечёт за собой увеличение проводимости по сравнению с проводимостью в т.н. нормальном состоянии, когда тянущее напряжение в N-S структуре много больше величины $\frac{\Delta_0}{e}$ (при условии высокой прозрачности границы раздела).

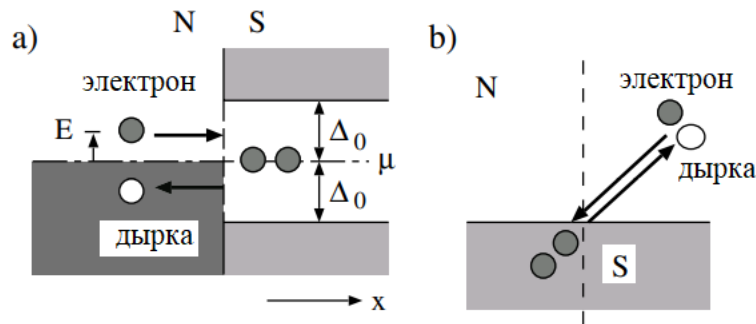


Рис. 5: (а) Энергетическая диаграмма процесса андреевского отражения: электрон, приходящий из N-области, отражается обратно как дырка, в то время как в S-области формируется куперовская пара. (б) В реальном пространстве: ретро-отражённая андреевская дырка следует по траектории исходного электрона в обратном направлении. [5]

Если $|E| > \Delta_0$, в сверхпроводнике возможно как андреевское, так и обычное отражение исходного электрона.

Если $|E| < \Delta_0$, в случае наличия потенциального барьера (разные материалы, разные скорости Ферми) при падении электрона на NS-границу также возможно как андреевское, так и нормальное отражение.

Итак андреевское отражение – фундаментальный процесс, определяющий транспорт заряда через NS-границу, суть которого заключается в отражении электрона, падающего на NS-границу, в виде ретро-отражённой дырки в металле, в то время как в сверхпроводнике появляется куперовская пара.

2.1.3 Модель Блондера-Тинкхама-Клапвайка (ВТК)

Модель ВТК описывает транспорт заряда через NS-границу на основе уравнения Боголюбова-де Жена (рассматриваются процессы андреевского отражения частицы, обычного отражения и прохождения заряда через границу). Потенциал NS-контакта описывается δ -образным барьером на границе раздела и потенциалом U_0 в металле, который образуется за счёт выравнивания уровня электрохимического потенциала (существен в случае контакта полупроводник-

сверхпроводник из-за значительного различия концентраций носителей), а также учитывается сверхпроводящий парный потенциал $\Delta(x)$ (см. рис. 6.)

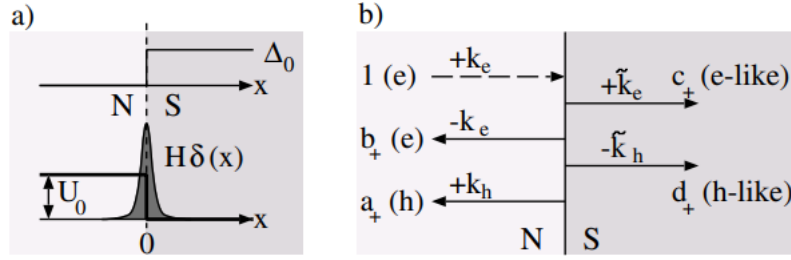


Рис. 6: (а) Модель NS-интерфейса. (б) Модель рассеяния, учитывающая андреевское и обычное отражения. Стрелки отображают направления групповых скоростей, коэффициенты – амплитуды вероятности соответствующих состояний. [5]

Процесс рассеяния падающей электронной волны с волновым вектором k_e : $\psi_{in}(x) = \begin{pmatrix} 1 \\ 0 \end{pmatrix} e^{ik_e x}$ изображён на рис. 6. Если u_0 – амплитуда вероятности, что состояние квазичастицы в сверхпроводнике электрон-подобное, а v_0 – дырочно-подобное, то волновая функция квазичастиц в сверхпроводнике имеет вид:

$$\psi_{transm}(x) = c_+ \begin{pmatrix} u_0 \\ v_0 \end{pmatrix} e^{ik'_e x} + d_+ \begin{pmatrix} v_0 \\ u_0 \end{pmatrix} e^{-ik'_h x}. \quad (7)$$

Для отражённых волн (в металле):

$$\psi_{refl}(x) = a_+ \begin{pmatrix} 0 \\ 1 \end{pmatrix} e^{ik_h x} + b_+ \begin{pmatrix} 1 \\ 0 \end{pmatrix} e^{-ik_e x}, \quad (8)$$

где волновые векторы определены следующим образом:

$$k_{e,h} = \sqrt{\frac{2m_{e,h}^*}{\hbar^2} (\mu - U_0 \pm E)}; k'_{e,h} = \sqrt{\frac{2m_e}{\hbar^2} (\mu \pm (E^2 - \Delta_0^2)^{1/2})}. \quad (9)$$

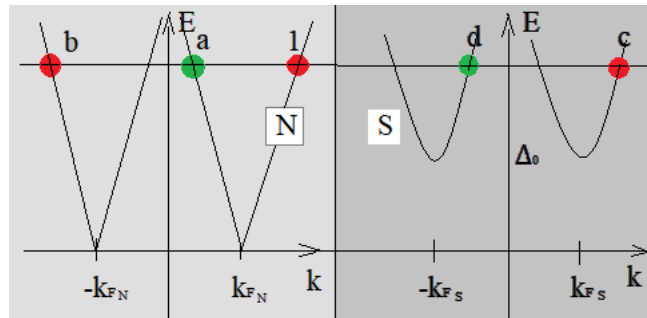


Рис. 7: Положения электронов (выделены красным цветом) и дырок (выделены зелёным цветом) с соответствующими коэффициентами по амплитуде на дисперсионных кривых металла и сверхпроводника.

С учётом непрерывности и граничных условий (см. рис. 6)

$$\psi_{in}(0) + \psi_{refl}(0) = \psi_{transm}(0) \quad (10)$$

$$\psi'_{in}(-0) + \psi'_{refl}(-0) - \psi'_{transm}(+0) = \frac{2m_e}{\hbar^2} H \psi_{transm}(0) \quad (11)$$

могут быть найдены коэффициенты a_+ , b_+ , c_+ , d_+ :

$$a_+ = \frac{u_0 v_0}{u_0^2(p+1) - v_0^2 p}; b_+ = \frac{(v_0^2 - u_0^2)(iZ + q)}{u_0^2(p+1) - v_0^2 p}; \quad (12)$$

$$c_+ = \frac{u_0((r+1)/2 - iZ)}{u_0^2(p+1) - v_0^2 p}; d_+ = -\frac{v_0((r-1)/2 - iZ)}{u_0^2(p+1) - v_0^2 p},$$

где $Z = \frac{2Hm_e}{\hbar^2 k_{FS}}$ – безразмерный параметр модели ВТК, $q = Z^2/r + (1 - r^2)/4r$, $p = Z^2/r + (r - 1)^2/4r$, $r = \frac{v_{FN}}{v_{FS}}$. Если $|E| < \Delta_0$ волновая функция квазичастицы в сверхпроводнике является затухающей, потому что волновое число комплексное.

В случае если дырка проходит через интерфейс, коэффициенты a_- , ..., d_- могут быть найдены заменой Z на $-Z$. В случае прохождения электрон-подобной квазичастицы из сверхпроводника коэффициенты прохождения имеют вид:

$$c'_+ = \frac{c_+(u_0^2 - v_0^2)}{r}; d'_+ = \frac{d_+(u_0^2 - v_0^2)}{r}. \quad (13)$$

Расчёт тока, протекающего через N-S границу при приложении внешнего напряжения, можно провести следующим образом:

$$I = \frac{ek_{FN}W}{\pi^2\hbar} \int_{-\infty}^{\infty} [f_{\rightarrow}(E) - f_{\leftarrow}(E)] dE, \quad (14)$$

где W – ширина контакта, f – функция распределения. Справа налево $f_{\rightarrow}(E) = f(E - eV)$, в обратную сторону: $f_{\leftarrow}(E) = B(E)f_{\rightarrow}(E) + A(E)[1 - f_{\rightarrow}(-E)] + (C(E) + D(E))f(E)$, где $A(E)$, ..., $D(E)$ – коэффициенты ретро- и обычного отражения и прохождения по энергии, например, $A(E) = a_{\uparrow}^* a_{\uparrow}$. Получаем:

$$I = \frac{ek_{FN}W}{\pi^2\hbar} \int_{-\infty}^{\infty} [f(E - eV) - (B(E)f(E - eV) + A(E)f(E + eV) + (1 - A(E) - B(E))f(E))] dE =$$

$$= \frac{ek_{FN}W}{\pi^2\hbar} \int_{-\infty}^{\infty} [f(E - eV) - f(E)](1 + A(E) - B(E)) dE \quad (15)$$

Особенность андреевского отражения заключается в увеличении или уменьшении суммарного тока, что отражено в факторе $A(E) - B(E)$ в формуле (15). В данном расчёте не принималась во внимание угловая зависимость коэффициента андреевского отражения, конечная толщина барьера и т.д.

2.2 Протекание сверхпроводящего тока в баллистических SNS контактах

На транспорт заряда в SNS-структурах влияют многие факторы. Среди них можно выделить два, вносящих значительный вклад в поведение ТФС:

- 1) соотношение между длиной свободного пробега элеткрона в материале l , длиной когерентности ξ и расстоянием между сверхпроводящими берегами d ;
- 2) прозрачность барьеров на N-S границах.

По соотношению l, ξ, d выделяют баллистические, или «чистые», контакты, в которых $l \gg \xi, d$, и диффузионные, или «грязные», в которых $l \ll \xi, d$.

2.2.1 Андреевские уровни

Рассмотрим модель протекания заряда в баллистических одномерных SNS структурах. Далее мы рассматриваем такие контакты, в которых не учитываются ни потенциальный барьер на границе, ни отличие фермиевских скоростей в нормальной и сверхпроводящих частях. Сверхпроводящую щель представим в следующем виде (см. рис. 8):

$$\Delta(x) = \begin{cases} \Delta_0 e^{-i\frac{\varphi}{2}} & x < 0 \\ 0 & 0 < x < L \\ \Delta_0 e^{i\frac{\varphi}{2}} & x > L \end{cases} \quad (16)$$

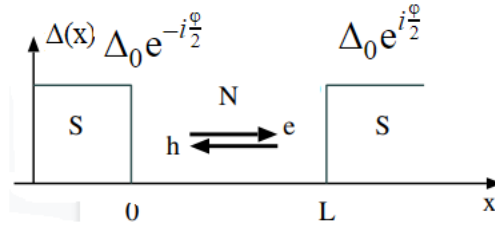


Рис. 8: Сверхпроводящая щель $\Delta(x)$ для баллистического одномерного SNS контакта. Стрелками показаны направления групповых скоростей электронов и дырок. [5]

Такой потенциал аналогичен квантовой яме для электронов в том смысле, что в данном случае возникают дискретные уровни энергии при $|E| \leq \Delta_0$. Задачу их нахождения решил Кулик, сделав подстановку [7] волновых функций возбуждений, движущихся направо (+) и налево (-) при $|E| \leq \Delta_0$:

$$\psi_+(x) = \begin{cases} A_+ \begin{pmatrix} v_0 e^{-i\frac{\varphi}{2}} \\ u_0 \end{pmatrix} e^{ik'_h x} & x < 0 \\ B_+ \begin{pmatrix} v_0 e^{-i\frac{\varphi}{2}} \\ 0 \end{pmatrix} e^{ik_e x} + B_+ \begin{pmatrix} 0 \\ u_0 \end{pmatrix} e^{ik_h x} & 0 < x < L; \\ C_+ \begin{pmatrix} u_0 e^{i\frac{\varphi}{2}} \\ v_0 \end{pmatrix} e^{ik'_e(x-L)} & x > L \end{cases} \quad (17)$$

$$\psi_-(x) = \begin{cases} A_- \begin{pmatrix} u_0 e^{-i\frac{\varphi}{2}} \\ v_0 \end{pmatrix} e^{-ik'_e x} & x < 0 \\ B_- \begin{pmatrix} u_0 e^{-i\frac{\varphi}{2}} \\ 0 \end{pmatrix} e^{-ik_e x} + B_- \begin{pmatrix} 0 \\ v_0 \end{pmatrix} e^{-ik_h x} & 0 < x < L \\ C_- \begin{pmatrix} v_0 e^{i\frac{\varphi}{2}} \\ u_0 \end{pmatrix} e^{ik'_h(x-L)} & x > L \end{cases}$$

Непрерывность волной функции в $x = 0$ и $x = L$, а также свойство $u_0^2 + v_0^2 = 1$ (следует из определения u_0 и v_0) дают

$$\frac{u_0^2}{v_0^2} = \frac{2E^2 - \Delta_0^2}{\Delta_0^2} + i2 \frac{E}{\Delta_0^2} \sqrt{\Delta_0^2 - E^2} = e^{\pm i\varphi} e^{i(k_e - k_h)L} \quad (18)$$

Поскольку $|E| \leq \Delta_0$, то $\frac{2E^2 - \Delta_0^2}{\Delta_0^2} + i2 \frac{E}{\Delta_0^2} \sqrt{\Delta_0^2 - E^2}$ можно представить в виде $e^{2i\gamma}$, и можно написать

$$1 = e^{-2i\gamma} e^{\pm i\varphi} e^{i(k_e - k_h)L} \quad (19)$$

При $|E| \ll \mu$ выражение $k_e - k_h$ можно аппроксимировать выражением $k_F \frac{E}{\mu} = \frac{1}{\xi_0} \frac{E}{\Delta_0}$, где ξ_0 – длина когерентности БКШ, тогда уравнение на спектр собственных значений гамильтониана с модельным потенциалом примет вид:

$$2\pi n = -2 \arccos \left(\frac{E}{\Delta_0} \right) \pm \varphi + \frac{L}{\xi_0} \frac{E}{\Delta_0} \quad (20)$$

В пределе коротких контактов $L \ll \xi_0$ получаем два связанных состояния, вырождающихся при $\varphi = \pi$ (см. рис. 9):

$$E_0^+ = \Delta_0 \cos \left(\frac{\varphi}{2} \right) \quad (21)$$

$$E_{-1}^- = -\Delta_0 \cos \left(\frac{\varphi}{2} \right). \quad (22)$$

В пределе $L \gg \xi_0$ вблизи нуля: $\Delta_0 \gg E$, получаем линейную зависимость от фазы (см. рис. 9):

$$E_n^\pm(\varphi) = \frac{\xi_0}{L} \Delta_0 [\pi(2n + 1) \mp \varphi]. \quad (23)$$

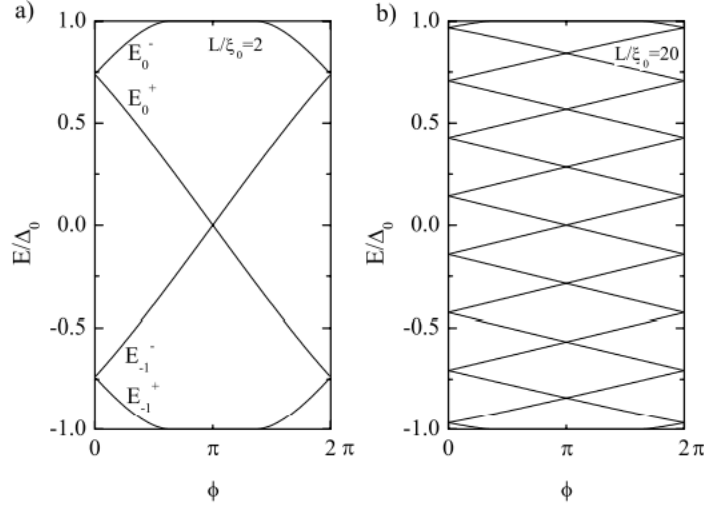


Рис. 9: Андреевские уровни при $\frac{L}{\xi_0} = 2$ (a) и $\frac{L}{\xi_0} = 20$ (b) в баллистическом SNS-контакте. [5]

Как будет показано далее, состояния $E_n^\pm(\varphi)$ переносят ток в SNS-контакте. В равновесии ток от каждого уровня определяется распределением Ферми-Дирака $f_0(E)$. При нулевой температуре вклад в сверхпроводящий ток несут только состояния с $E < 0$, т.к. они полностью заняты.

2.2.2 Сверхпроводящий ток в общем случае одномерного SNS-контакта

В данном разделе для расчёта сверхпроводящего тока будем использовать подход матриц прохождения.

Сверхпроводящая щель снова представляется как на рис. 10. Потенциал $U(x)$ теперь учитывает различие ферми-уровней в нормальном и сверхпроводнике:

$$U(x) = U_0(\theta(x) - \theta(x - L)) + \frac{\hbar^2 k_{FS}^2}{m_e} Z(\delta(x) + \delta(x - L)) \quad (24)$$

Это изображено на Рис. 10.

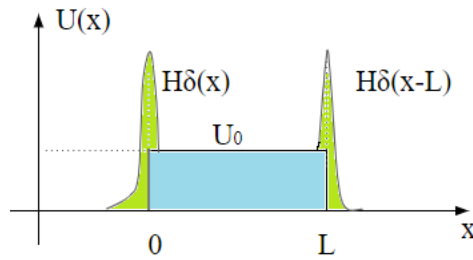


Рис. 10: Модель потенциала $U(x)$.

Для расчёта джозефсоновского сверхпроводящего тока прохождение квазичастицы через контакт можно описать с помощью матрицы прохождения $\mathbf{T}(\varphi)$:

$$\begin{pmatrix} \widetilde{\psi}_e \\ \widetilde{\psi}_h \end{pmatrix} = \mathbf{T}(\varphi) \begin{pmatrix} \psi_e \\ \psi_h \end{pmatrix} \quad (25)$$

Матрица $\mathbf{T}(\varphi)$ представляет собой композицию матриц, отражающих шаги транспорта частицы: прохождение левой границы, нормальной области, правой границы. Коэффициенты этих матриц определяются согласно (12)-(13):

$$x = 0 : \mathbf{I} = \begin{pmatrix} e^{-i\varphi/4}c'_+ & e^{-i\varphi/4}d'_- \\ e^{i\varphi/4}d'_+ & e^{i\varphi/4}c'_- \end{pmatrix} \quad (26)$$

$$0 < x < L : \mathbf{P} = \begin{pmatrix} e^{ik_e L} & 0 \\ 0 & e^{-ik_h L} \end{pmatrix}$$

$$x = L : \mathbf{O} = \begin{pmatrix} e^{-i\varphi/4}c_+ & e^{i\varphi/4}d_- \\ e^{-i\varphi/4}d_+ & e^{i\varphi/4}c_- \end{pmatrix}$$

Электрон или дырка могут пройти напрямую через нормальный слой или быть многократно переотражёнными в нём как в резонаторе (см. рис. 11).

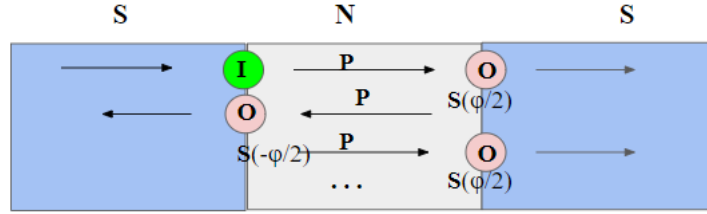


Рис. 11: Процессы переотражения в SNS-структуре.

Каждый цикл прохождения может быть описан отражением от NS-границы, прохождением до противоположной границы, отражением от неё и возвращением. Матрицу отражения от интерфейса можно записать в следующем виде:

$$\mathbf{S}(\pm\varphi/2) = \begin{pmatrix} b_+ & e^{\pm i\varphi/2}a_- \\ e^{\mp i\varphi/2}a_+ & b_- \end{pmatrix} \quad (27)$$

Это позволяет написать матрицу одного цикла переотражения:

$$\mathbf{M}(\varphi) = \mathbf{PS}(-\varphi/2)\mathbf{PS}(\varphi/2) \quad (28)$$

Суммарно это даст:

$$\sum_{n=0}^{\infty} \mathbf{M}^n(\varphi) = (1 - \mathbf{M}(\varphi))^{-1} \quad (29)$$

Матрица прохождения $\mathbf{T}(\varphi)$ получается следующей:

$$\mathbf{T}(\varphi) = \mathbf{O}(\varphi/2)(1 - \mathbf{M}(\varphi))^{-1}\mathbf{PI}(-\varphi/2) = \begin{pmatrix} C_+(\varphi) & D_+(\varphi) \\ D_-(\varphi) & C_-(\varphi) \end{pmatrix} \quad (30)$$

Выделим два вклада в сверхпроводящий ток: ток дискретного спектра (Андреевские уровни) и непрерывного ($|E| > \Delta_0$). Полный вывод соотношений можно найти в [5], здесь приведём результаты. При нулевых температурах заняты и дают вклад в ток только дискретные

Андреевские уровни E_n^\pm (полюса \mathbf{T} -матрицы), расположенные ниже электрохимического потенциала μ :

$$I_{discr} = \sum_{n,\pm,E<0} \frac{2e}{\hbar} \frac{dE_n^\pm}{d\varphi} \quad (31)$$

Вклад непрерывного спектра в ток определяется элементами матрицы прохождения:

$$\begin{aligned} I_{cont} &= \frac{2e}{\hbar} \int_{-\infty}^{-\Delta_0} \frac{1}{|u_0^2 - v_0^2|} ([T_{L \rightarrow R}^e(E, \varphi) - T_{L \leftarrow R}^e(E, \varphi)] - [T_{L \rightarrow R}^h(E, \varphi) - T_{L \leftarrow R}^h(E, \varphi)]) dE = \quad (32) \\ &= \frac{2e}{\hbar} \int_{-\infty}^{-\Delta_0} \frac{1}{|u_0^2 - v_0^2|} (|C_+(\varphi)|^2 - |C_+(-\varphi)|^2 - |C_-(\varphi)|^2 + |C_-(-\varphi)|^2) dE = \frac{2e}{\hbar} \int_{-\infty}^{-\Delta_0} i(E, \varphi) dE \end{aligned}$$

Вычисление в общем случае затруднительно, но значительное упрощение получается, если рассмотреть предел коротких контактов ($L \ll \frac{\mu - U_0}{k_{FN} \Delta_0}$). Тогда энергия связанных состояний определяется следующей формулой (см. (12), ср. с (21)-(23)):

$$E_B^\pm(\varphi) = \pm \Delta_0 \sqrt{\frac{\cos^2(\varphi/2) + 4Z^2}{4Z^2 + 1}}, \quad (33)$$

причём $E_B^+ = E_0^+$, $E_B^- = E_{-1}^-$. В таком пределе вклад в ток несёт только дискретная часть спектра.

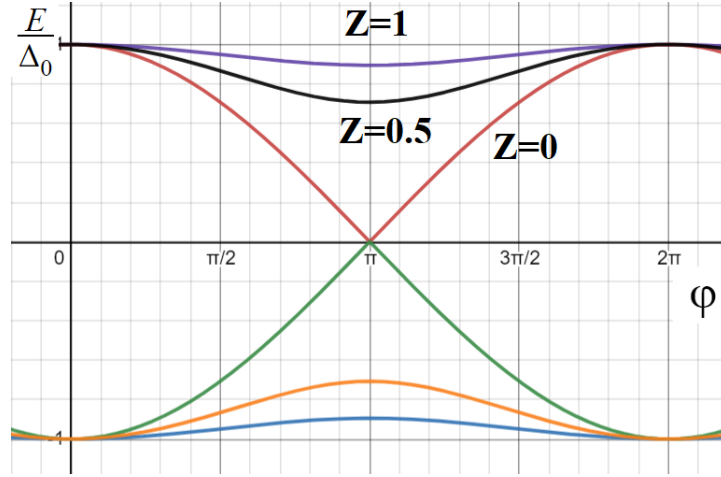


Рис. 12: Нормированные Андреевские уровни при $T = 0$ в пределе короткого контакта при разных Z . Построено согласно (33).

При $Z > 0$ из-за возможности нормального отражения вырожденность уровней в $\varphi = \pi$ исчезает, появляется энергетическая щель (это видно на рис. 12). Как видно на рис. 13 сверхпроводящий ток уменьшается из-за наличия барьера на N-S границе. Видно также, как зависимость $I(\varphi)$ постепенно меняется от предела «чистого» точечного контакта к пределу туннельной характеристики ($I(\varphi) \sim \sin \varphi$) [1]. В пределе длинного контакта возникает много Андреевских уровней, а также появляется вклад в ток непрерывной части спектра. Приведём для сравнения зависимости тока от фазы в этих пределах (рис. 13).

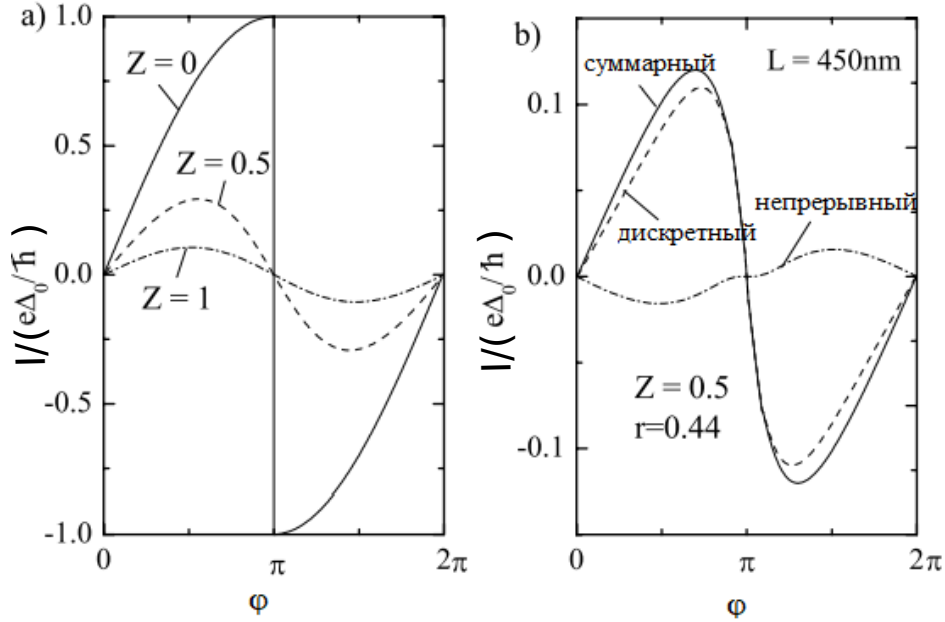


Рис. 13: Ток-фазовые соотношения (ТФС) для предела короткого (а) и длинного (б) контакта. [5]

При конечной ненулевой температуре Андреевские уровни заполняются с учётом распределения Ферми-Дирака. Учёт этого факта отражается и в выражении для тока непрерывного спектра:

$$I_{discr} = \sum_{n,\pm} \frac{2e}{\hbar} \frac{dE_n^\pm}{d\varphi} f_0(E_n^\pm(\varphi)) \quad (34)$$

$$I_{cont} = \frac{2e}{\hbar} \left(\int_{-\infty}^{-\Delta_0} + \int_{\Delta_0}^{\infty} \right) i(E, \varphi) f_0(E) dE \quad (35)$$

Основной вклад несёт дискретный спектр, и этот вклад легко вычислить в случае короткого контакта, используя (33)-(34):

$$\begin{aligned} I_{discr}(\varphi) &= \frac{2e}{\hbar} \frac{\Delta_0 \sin \varphi}{4\sqrt{(4Z^2 + 1)(\cos^2(\varphi/2) + 4Z^2)}} (f_0(E_B^-) - f_0(E_B^+)) = \\ &= \frac{e\Delta_0}{\hbar} \frac{\sin \varphi}{2\sqrt{(4Z^2 + 1)(\cos^2(\varphi/2) + 4Z^2)}} \tanh\left(\frac{E_B^+}{2k_B T}\right) \end{aligned} \quad (36)$$

Отметим, что ТФС SNS-перехода в «чистом» пределе не имеет синусоидального характера $I = I_c \sin \varphi$. На это указывают и другие источники [1].

2.3 Учёт эффекта близости

До этого мы рассматривали случай, когда сверхпроводящий потенциал Δ_0 имел вид ступеньки в сверхпроводнике. В месте с тем, в месте NS-контакта свойства сверхпроводящего и нормального слоя изменяются: куперовские пары из сверхпроводника могут диффундировать в металл на конечные расстояния до распада на два некогерентных электрона. Такой механизм называется эффектом близости.

Величину конечного расстояния диффузии куперовской пары в N слое обозначим ξ_N и рассмотрим диффузионный случай, когда $\xi_S \gg l_{eS}$, $\xi_N \gg l_{eN}$, где $\xi_{S,N}$ – длины когерентности в сверхпроводнике и нормальной области, $l_{eS,N}$ – длины свободного пробега электрона, соответственно. В диффузионном пределе длины когерентности можно найти так:

$$\xi_{S,N} = \sqrt{\frac{\hbar D_{S,N}}{2\pi k_B T_c}}, \quad (37)$$

где $D_{S,N}$ – коэффициенты диффузии в соответствующих слоях, T_c – температура сверхпроводящего перехода.

В теории электронный транспорт в диффузионном SNS-контакте описывается уравнением Узаделя (см. [5]), которое имеет вид:

$$\xi_{S,N}^2 \theta''_{S,N}(x) + i \frac{E}{\pi k_B T_c} \sin \theta_{S,N}(x) + \frac{\Delta_{S,N}}{\pi k_B T_c} \cos \theta_{S,N}(x) = 0, \quad (38)$$

где $\theta_{S,N}(x)$ – комплексный угол, $\text{Re}[\cos \theta_{S,N}(x)]$ – квазичастичная плотность состояний, $\text{Re}[\sin \theta_{S,N}(x)]$ – плотность состояний куперовских пар.

Схематически влияние эффекта близости представлено на рис. 14. Введены следующие обозначения: $\gamma_B = \frac{2l_{eN}}{3\xi_N} \langle \frac{1-D}{D} \rangle$, где D – величина, характеризующая барьер (коэффициент прохождения), связанная с коэффициентом Z из модели ВТК как $D = \frac{1}{1+Z^2}$; $\gamma = \frac{\rho_S \xi_S}{\rho_N \xi_N}$. Введённые величины γ_B, γ используются в теоретических расчётах как параметры для уравнения Узаделя (38).

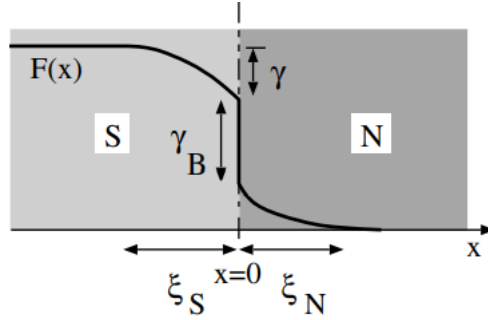


Рис. 14: Схематическая зависимость плотности куперовских пар $F(x) = \text{Re}[\sin \theta_{S,N}(x)]$ от координаты. [5]

В диффузионном случае для идеально прозрачного интерфейса энергетическая величина, которая определяет величину наведённой щели в металле в диффузионном случае, величину критического тока и его температурную зависимость – это таулессовская энергия $E_{Th} = \frac{\hbar D_N}{L^2}$, где D_N – коэффициент диффузии в N-слое, L – его длина. Таулессовская энергия определяет скорость диффузии электрона через металл. В работе [8] проведены расчёты зависимости критического тока от этого параметра. Приведём их результат:

$$eRI_c = 4\pi k_B T \sum_{n=0}^{\infty} \frac{\Delta^2 / (\Delta^2 + \omega_n^2)}{\sqrt{\frac{2\omega_n}{E_{Th}}} \sinh \sqrt{\frac{2\omega_n}{E_{Th}}}}, \quad (39)$$

где Δ – величина щели в сверхпроводнике S-слоя, $\omega_n = (2n+1)k_B T$ – мадубаровские частоты, R – сопротивление контакта.

2.4 Определение ТФС джозефсоновского контакта при помощи асимметричного СКВИДа

Одним из методов определения ток-фазового соотношения в джозефсоновских структурах является измерение при помощи асимметричного СКВИДа. Идея этого эксперимента заключается в следующем: возьмём джозефсоновский контакт с неизвестной ток-фазовой характеристикой и джозефсоновский контакт с синусоидальным ТФС (SIS-контакт), критический ток которого известен и в несколько раз превышает критический ток исследуемого контакта, и замкнём их в сверхпроводящее кольцо. Путём измерения зависимости тока в СКВИДе от внешнего магнитного поля можно определить ток-фазовую характеристику исследуемого образца. Покажем, как это сделать, следуя [9].

Для начала рассмотрим СКВИД в приближении пренебрежимо малой индуктивности. Пусть опорный SIS-контакт имеет критический ток I_{c1} , т.е. $I_1(\varphi) = I_{c1} \sin \varphi$. Исследуемый образец имеет критический ток $I_{c2} \ll I_{c1}$ и неизвестную ТФС $I_{c2}f(\varphi)$. Тогда величина сверхпроводящего тока, протекающая в СКВИДе оказывается равной:

$$I_s = I_{c1} \sin \varphi_1 + I_{c2}f(\varphi_2) = I_{c1} \sin \varphi_1 + I_J(\varphi_2) \quad (40)$$

Фазы связаны соотношением

$$\varphi_1 = \varphi_2 + 2\pi \frac{\Phi}{\Phi_0}, \quad (41)$$

где Φ – поток, пронизывающий кольцо СКВИДа, $\Phi_0 = \frac{h}{2e}$ – квант потока. Если φ_c – значение фазы, при котором достигается максимум I_s , то

$$\left. \frac{dI_s}{d\varphi} \right|_{\varphi=\varphi_c} = I_{c1} \cos \left(\varphi_c + 2\pi \frac{\Phi}{\Phi_0} \right) + \left. \frac{dI_J}{d\varphi} \right|_{\varphi=\varphi_c} = 0 \quad (42)$$

Тогда производная $\frac{dI_{smax}}{d\Phi}$, определяемая по экспериментальным данным (см. раздел «Результаты»), получается в силу (42) равной

$$\frac{dI_{smax}}{d\Phi} = I_{c1} \cos \left(\varphi_c + 2\pi \frac{\Phi}{\Phi_0} \right) \left(\frac{d\varphi_c}{d\Phi} + \frac{2\pi}{\Phi_0} \right) + \frac{dI_J}{d\varphi} \frac{d\varphi_c}{d\Phi} = I_{c1} \cos \left(\varphi_c + 2\pi \frac{\Phi}{\Phi_0} \right) \frac{2\pi}{\Phi_0} \quad (43)$$

Отсюда получаем

$$\varphi_c = \pm \arccos \left(\frac{\Phi_0}{2\pi I_{c1}} \frac{dI_{smax}}{d\Phi} \right) - 2\pi \frac{\Phi}{\Phi_0} + 2\pi k \quad (44)$$

Теперь если вернуться к (40) при $\varphi = \varphi_c$, мы имеем:

$$I_J(\varphi_c) = I_{smax} - I_{c1} \sin \left(\varphi_c + 2\pi \frac{\Phi}{\Phi_0} \right) = I_{smax} \pm I_{c1} \sqrt{1 - \left(\frac{\Phi_0}{2\pi I_{c1}} \frac{dI_{smax}}{d\Phi} \right)^2} \quad (45)$$

Выбор знаков диктуется тем, что критический ток исследуемой структуры не может превышать максимальный ток СКВИДа. Система (44)-(45) задаёт ток-фазовое соотношение для исследуемого объекта в приближении:

- 1) $I_{c2} \ll I_{c1}$;
- 2) пренебрежимо малая индуктивность контура.

Если учитывать индуктивность, но считать её малой, то получится следующее:

$$\varphi_c = \arccos \left(\frac{\Phi_0}{2\pi I_{c1}} \frac{dI_{smax}}{d\Phi} \right) - 2\pi \frac{\Phi - \Phi_L}{\Phi_0}, \quad (46)$$

где Φ_L – величина потока, соответствующая току, протекающему по индуктивности. Если СКВИД сильно асимметричный, то

$$\Phi_L = \frac{L(I_{c1} - I_{c2})}{2}, \quad (47)$$

где L – величина индуктивности СКВИДа.

Вычисление индуктивности контура можно производить аналитически или экспериментально, путём изготовления калибровочных СКВИДов с известными параметрами. Это описано в статье [9].

Таким образом, соотношения (45) и (46) задают ток-фазовое соотношение исследуемого образца в асимметричном СКВИДе.

3 Экспериментальная часть

3.1 Изготовление образца

Образцы изготавливались в ИФТТ РАН при помощи электронно-лучевой литографии на двойном резисте и последующего теневого осаждения.

Для формирования SNS-контакта в высоковакуумной установке на подложку сначала осаждался тонкий слой меди (толщиной $d_N = 40nm$) для формирования полосы нормального металла, а затем под другим углом – слой ниобия толщиной $d_S = 70nm$ для формирования сверхпроводящих берегов джозефсоновского перехода Nb-Cu-Nb. Аналогично был изготовлен SIS-контакт Nb-Al-AlO_x-Al-Nb, но на одной из промежуточных стадий изготовления было проведено окисление алюминиевого слоя. Схематически процедура теневого напыления представлена на рис. 15.

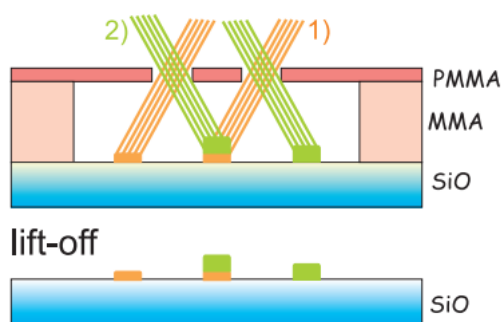


Рис. 15: Схема технологии теневого напыления под двумя углами. Предварительно на подложку наносится двухслойный резист: MMA-ММА (40 К)+ PMMA (950 К). Далее следует стадия экспонирования и проявления. Часть резиста засвечивается электронным лучом, и затем она помещается в позитивный раствор-проявитель МВК+РА(1:3). Затем производится чистка ионами аргона областей поверхности подложки, освобождённых от электронного резиста. После этого производится напыление металлов под разными углами наклона и поворота. [10]

Изображения структур в сканирующем электронном микроскопе приведены на рис. 16.

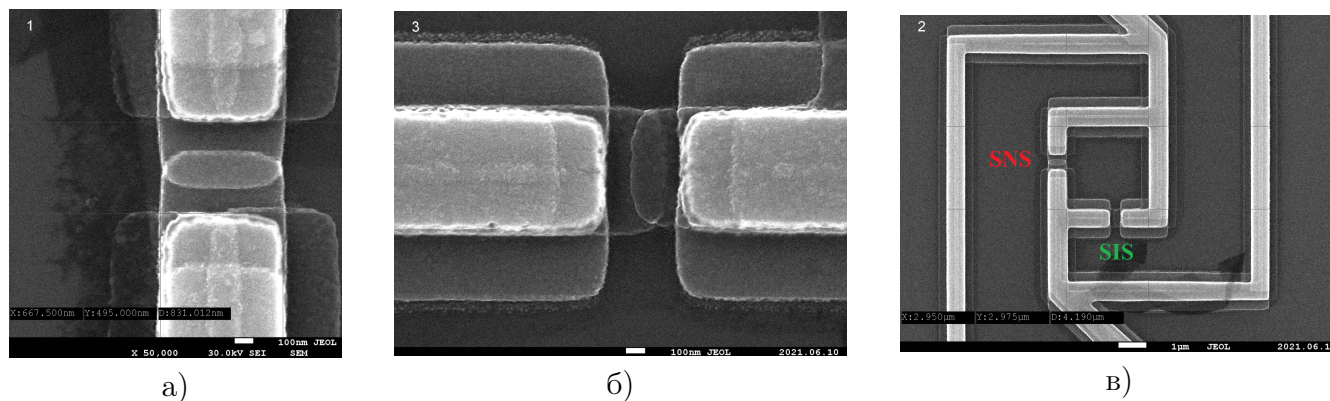


Рис. 16: СЭМ-изображения изготовленных структур для эксперимента: а) отдельный SNS-контакт б) отдельный SIS-контакт в) СКВИД с SNS- и SIS-контактами (обозначены на рисунке).

3.2 Методика измерений

Установка для проведения эксперимента состояла из криостата He-4, соединенного с общей гелиевой сетью, измерительных приборов, подключенных к ПК через интерфейс GPIB для получения данных с помощью программы Labview. Схема установки приведена на рис. 17.

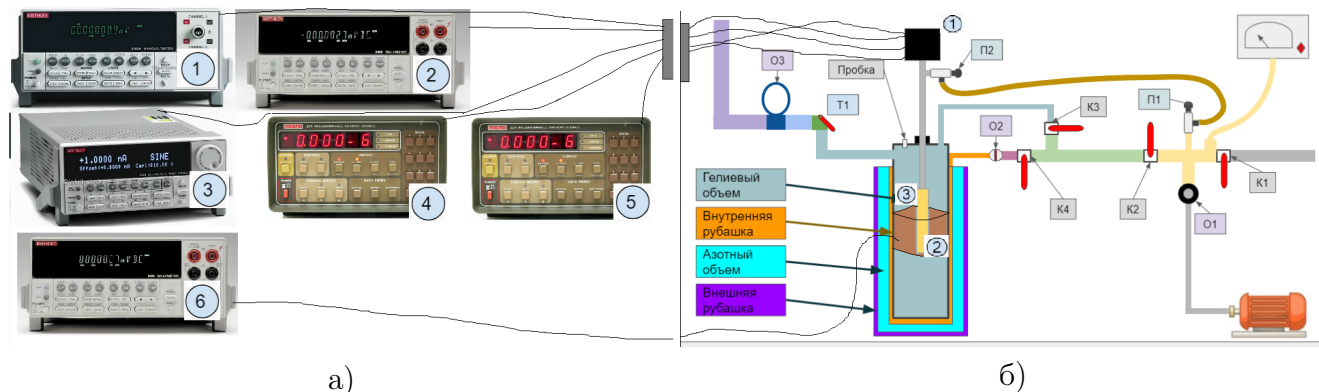


Рис. 17: а) Измерительные приборы: 1 - нановольтметр Keithly 2182; 2 - мультиметр Keithly 2000 (термометр); 3 - источник тока Keithly 6220; 4 - источник тока Keithly 224 (термометр); 5 - источник тока Keithly 224 (нагреватель); 6 - источник тока Keithly 2000 (соленоид). б) Кратко обозначены краны гелиевой и вакуумной системы, составные части криостата He-4. Цифрами обозначены следующие элементы: 1 - коробочка с фильтрами; 2 - соленоид в криостате; 3 - медный стакан на вставке, защищающий держатель с образцом.

Образцы помещались в криостат при помощи вставки, в нижней части которой закреплён держатель образца. Держатель состоит из текстолитовой подложки с медными контактными площадками. Образцы приклеивались клеем БФ к подложке держателя, а затем приваривались тоненькие медные проволочки к образцу и контактными площадкам с помощью бондера 4500S Wedge-Bonder фирмы Külicke and Sofa. Затем держатель с образцом помещался во вставку и закрывался медным кожухом. Далее вставка опускалась в криостат.

На данные, получаемые при таких измерениях, при малых значениях тока и напряжения, сильно влияют шумы. Для подавления электромагнитных шумов применялись RC-фильтры низких частот, установленные в измерительных DC-линиях на выходе из криостата (при комнатной температуре). Схема приведена на рис. 18. После того, как криостат залит гелием-4 ($T = 4.2 K$), производится откачка паров гелия-4 для получения более низких температур вплоть до $1.5 K$. Магнитное поле, перпендикулярное плоскости образца, создаётся внешней катушкой, расположенной в криостате.

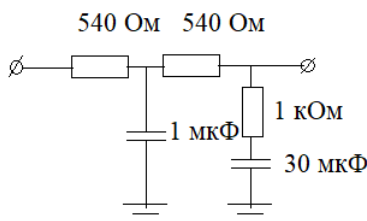


Рис. 18: Схема фильтров низких частот, установленных на выходе из криостата.

4 Результаты измерений

4.1 Измерение вольт-амперных характеристик SNS-структур

Мы провели серию измерений вольт-амперных характеристик при разных температурах для SNS-структур, в которых сверхпроводящие берега были изготовлены из ниобия Nb, а в роли нормального металла выступала медь Cu. Измерения для одного из образцов представлены на рис. 19.

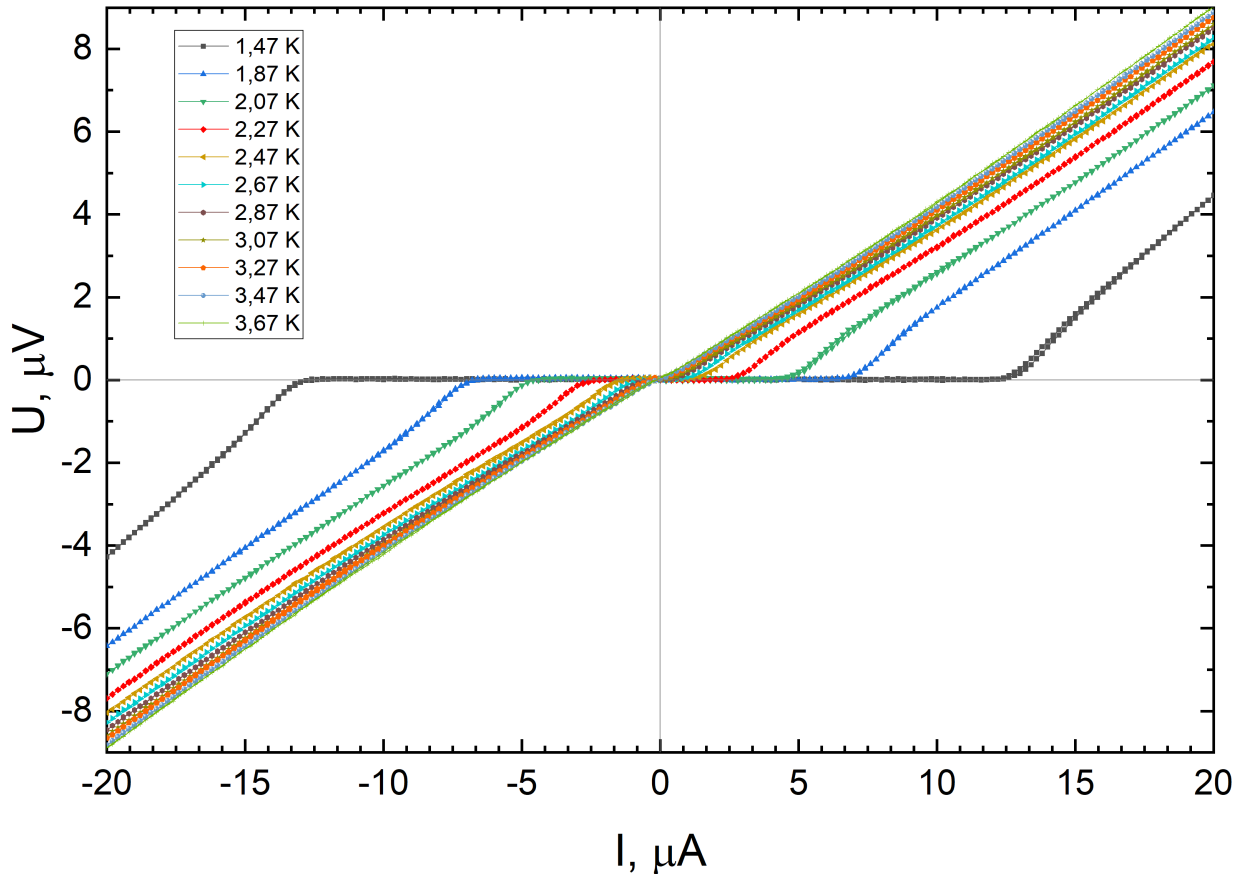


Рис. 19: Результаты измерений вольт-амперных характеристик SNS-контакта (Nb-Cu-Nb) при различных температурах.

В исследуемых структурах мы наблюдали сверхпроводящий ток I_c , зависящий от температуры. Нами была проведена обработка резистивной части вольт-амперных характеристик для определения значения критического тока при значениях температуры от 1.47 К до 2.67 К по модели RSJ, согласно формуле $U(I) = R_n \sqrt{I^2 - I_c^2}$, где R_n — значение коэффициента наклона резистивной части $U(I)$ при её выходе на линейную зависимость. Результаты обработки представлены в таблице 1.

Таблица 1: Результаты обработки вольт-амперных характеристик SNS-контакта при разных температурах

№	T, K	$I_{c_{RSJ}}, \mu A$
1	1.47	14.019
2	1.87	8.278
3	2.07	6.066
4	2.27	3.931
5	2.47	2.366
6	2.67	2.126

Значение сопротивления R_n составило 0.44Ω . Для расчёта величины таулессовской энергии в меди нам необходимо знать сверхпроводящие параметры ниобия и характеристики меди. Они представлены в таблице 2.

Таблица 2: Характеристики материалов Nb и Cu

Температура перехода Nb, T_c	8.3 K
Концентрация свободных носителей в Cu, n	$8.27 \cdot 10^{28} \frac{1}{m^3}$
Скорость Ферми в Cu, v_F	$1.56 \cdot 10^6 \frac{cm}{s}$

Геометрические параметры образца показаны на рис. 20.

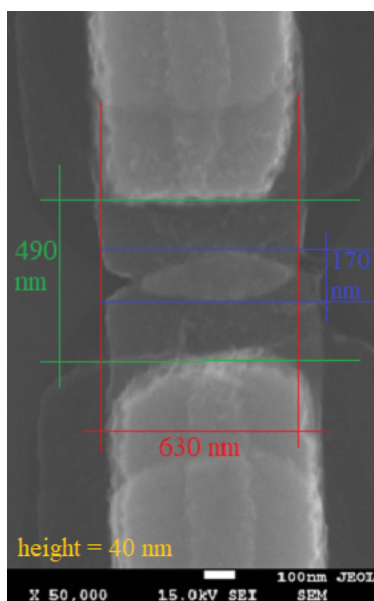


Рис. 20: СЭМ-изображение SNS-структуры с указанием геометрических размеров.

По заданным геометрическим размерам с учётом перекрытия и значения R_n мы рассчитали величину удельного сопротивления меди: $\rho = 2.7 \mu\Omega \cdot cm$. При расчёте мы пренебрегли сопротивлением интерфейсов нормальный металл-сверхпроводник, что впоследствии оправдалось.

Используя модель Друде, мы определили длину свободного пробега в меди при скорости Ферми: $l_{el} = 24.8nm$. Далее нашли коэффициент диффузии $D = \frac{1}{3}v_F l_{el}$ и теоретическое значение таулессовской энергии $E_{Th}^{theor} = \hbar \frac{D}{L^2}$, L – расстояние между сверхпроводящими берегами:

$$D = 130 \frac{cm^2}{s} \quad (48)$$

$$E_{Th}^{theor} = 36\mu eV \quad (49)$$

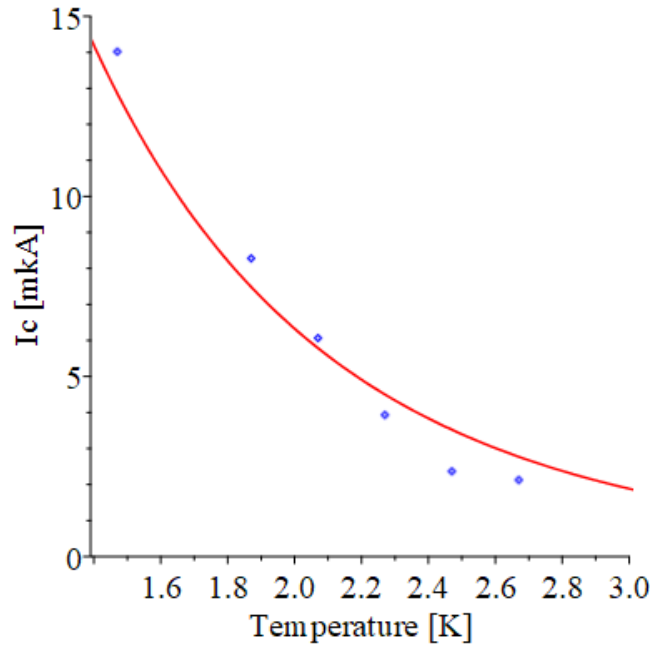
Заметим, что это много меньше значения сверхпроводящей щели в ниобии, которую можно найти как $2\Delta = 3.9k_B T_c$. Здесь коэффициент 3.9 отличается от привычного в теории БКШ 3.52, вместе с тем ниобий имеет зависимость $\Delta(T)$, описываемую моделью БКШ (см. [11]). Таким образом, $\Delta = 1.26meV \gg E_{Th}^{theor} = 36\mu eV$.

Оценим также величину длины когерентности в N-слое, чтобы убедиться, что вычисления проводятся в правильном пределе. Используя формулу (37), получаем

$$\xi_N = 100nm \quad (50)$$

Полученное значение подтверждает справедливость использования диффузионного приближения.

Значение таулессовской энергии можно также получить из экспериментальных данных зависимости $I_c(T)$ согласно описанной в разделе «Теоретическое введение» формуле (39). Вычисление проводилось по программе в среде Maple 2017, в которой вычислялись первые 1000 членов предложенного ряда. Результаты представлены на рис. 21. Значение $E_{Th}^{fit} = 36\mu eV$ при обработке по модели RSJ совпало с теоретическим, что может говорить о том, что сопротивление интерфейсов мало по сравнению с сопротивлением объёмной части N-слоя $R_{NS} \ll R_N$.



a)

Рис. 21: Температурная зависимость критического тока SNS-контакта: экспериментальные данные обозначены точками, аналитическая зависимость при $E_{Th} = 36\mu eV$ (см. (39)) обозначена сплошной кривой.

4.2 Измерения ТФС SNS-контактов при помощи асимметричного СКВИДа

Нами было проведено измерение вольт-амперных характеристик в диапазоне магнитных полей от 0 до 4.34 Тл асимметричного СКВИДа, в плечах которого были встроены SIS и SNS контакты. SIS имел ниобиевые берега, в качестве изолятора выступал оксид алюминия. Это был опорный контакт с известной ток-фазовой характеристикой $I(\varphi) = I_c \sin \varphi$, где $I_c = 280 \mu A$. В качестве исследуемого джозефсоновского контакта была SNS-структура с ниобиевой сверхпроводящей и медной нормальной частями. Его ток-фазовое соотношение подлежало определению.

Для начала представим данные измерений со СКВИДом в виде графика (см. рис. 22). На представленном графике видны осцилляции критического тока по магнитному полю, которые носят периодический характер.

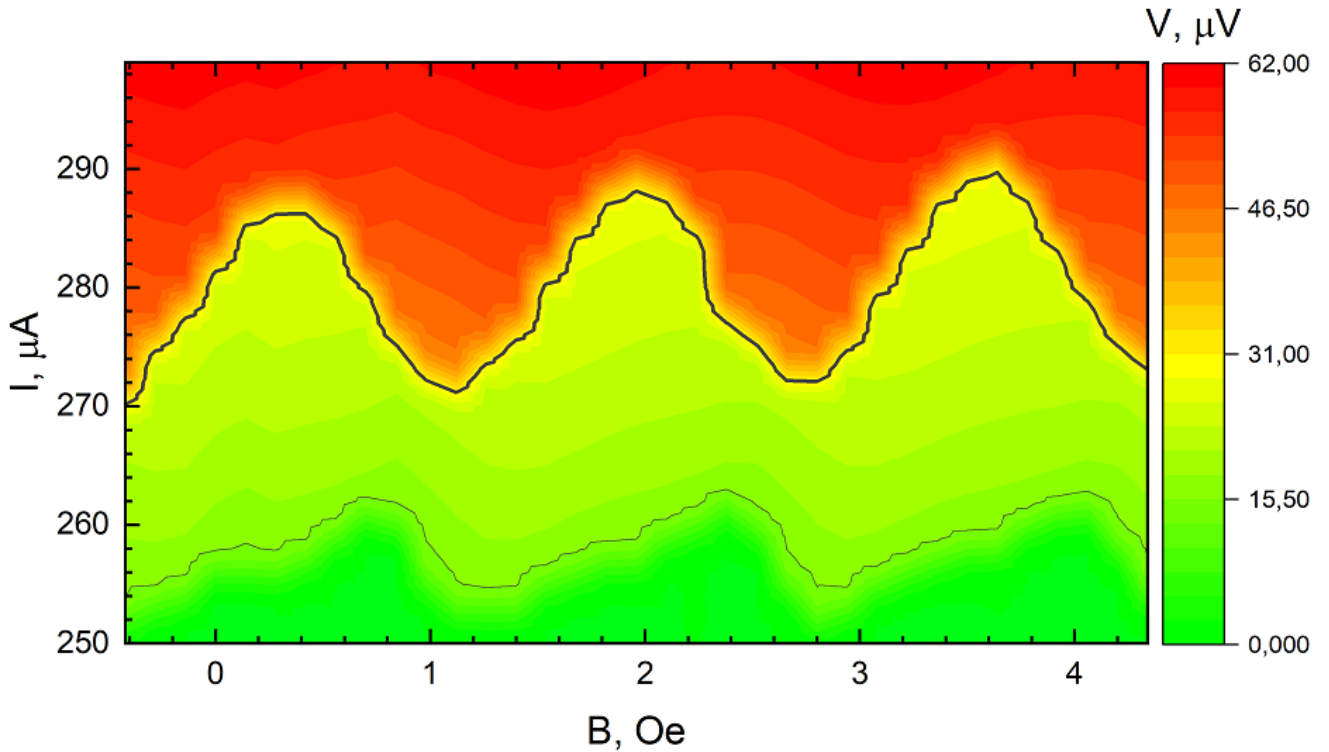


Рис. 22: Зависимость $V(I)$ для СКВИДа при разных значениях магнитного поля B . Сплошной линией выделены осцилляции критического тока в магнитном поле.

Перед обработкой экспериментальных данных зависимости $I_{max}(B)$ нужно оценить индуктивность контура СКВИДа. Это можно сделать по следующей формуле (приведена в СГС):

$$L = 0.4 \left[a \ln \left(\frac{4ab}{c(a+d)} \right) + b \ln \left(\frac{4ab}{c(b+d)} \right) \right] + 2(a+b-d) - 1.25\mu(a+b), \quad (51)$$

где a, b, c – длина, ширина и высота прямоугольной рамки, $d = \sqrt{a^2 + b^2}$. В СИ нужно по-

лученную величину умножить на μ_0 . В нашем случае рамка была квадратной (см. рис. 23). Значение индуктивности контура получилось равным $L = 10.4$ пГн.

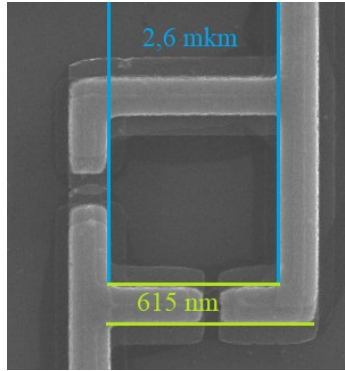


Рис. 23: СЭМ-изображение СКВИДа с указанием геометрических размеров. Высота слоя $s = 40$ нм.

Определив индуктивность СКВИДа и площадь его внутреннего кольца, а также численную производную $\frac{dI_{max}}{dB}$ по экспериментальным точкам зависимости $I_{max}(B)$ для СКВИДа, мы можем применить соотношения (45) и (47) для нахождения ток-фазового соотношения SNS-контакта. Результаты представлены на рис. 24.

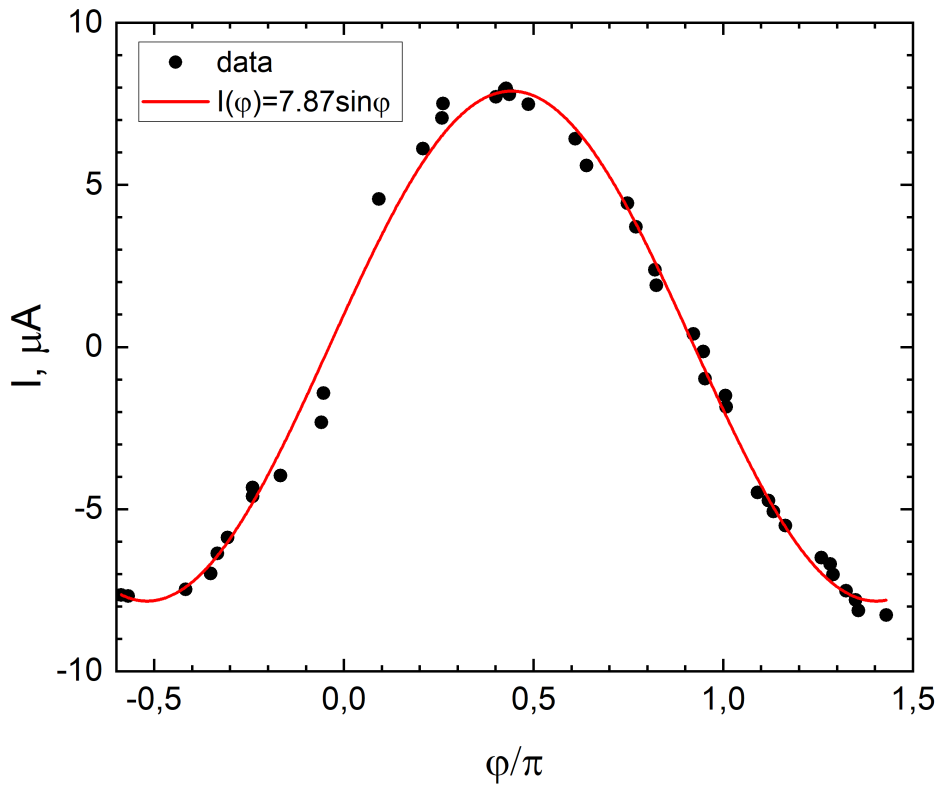


Рис. 24: Ток-фазовое соотношение SNS-контакта, полученное из экспериментальных данных (точки, отмеченные чёрным цветом), и его аппроксимация аналитической зависимостью (сплошная красная линия).

Полученная зависимость имеет синусоидальный характер, что отражено на графике (рис. 24) путём аппроксимирования экспериментальных точек. Критический ток, полученный при аппроксимации, составил $7.87 \mu A$.

Представленное ток-фазовое соотношение могло быть ожидаемо, поскольку мы работали с длинными диффузионными SNS-контактами (это отражено в вычислениях, приведённых выше: расстояние между сверхпроводящими берегами $d = 490nm$ длина свободного пробега в меди $l_{el} = 24.8nm$, длина когерентности $\xi_N = 100nm$, $\xi_N \gg l_{el}$). Это подкрепляется уже имеющимися теоретическими результатами. В обзоре А. А. Голубова [1] приводятся результаты численных расчётов ТФС для SNS-контактов в различных пределах. Приведём результат, касающийся диффузионного случая (см. рис. 25).

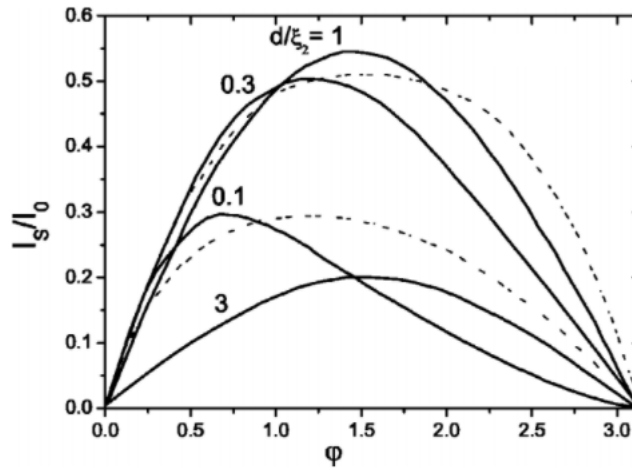


Рис. 25: Зависимость ТФС от отношения длины N-слоя к длине когерентности в металле в диффузионном случае. Численный расчёт показан сплошными линиями, аналитический – пунктиром. [1]

Приведённый выше график показывает, что чем длиннее диффузионный контакт (при неизменной прозрачности интерфейсов), тем ближе его ток-фазовая характеристика к синусоидальной. Особенно это проявляется, когда отношение $\frac{d}{\xi_N}$ больше или порядка 1 (в нашем случае $\frac{d}{\xi_N} = 4.9$).

Таким образом, полученный нами результат согласуется с имеющимися расчётами, и это позволяет сказать, что метод определения ток-фазового соотношения, предложенный в разделе 2.4 «Теоретической части», применим для субмикронных планарных гибридных джозефсоновских SNS-контактов.

5 Заключение

Проведены низкотемпературные исследования зарядового транспорта в планарных субмикронных джозефсоновских SNS структурах с ниобиевыми берегами и барьерами из нормального металла (Nb-Cu-Nb). Изучены вольт-амперные характеристики исследуемых структур в температурном интервале 1.5-4.2К. Обнаружен джозефсоновский сверхток в исследуемых структурах. Исследованы зависимости джозефсоновского критического тока от температуры. Проведено сравнение полученных экспериментальных данных с теоретическими расчетами в рамках модели зарядового транспорта в диффузионном планарном SNS контакте [12].

Проведены исследования ток-фазового соотношения в планарных субмикронных джозефсоновских SNS-структурах Nb-Cu-Nb с использованием несимметричного двухконтактного СКВИДа. Изучены зависимости критического тока двухконтактного СКВИДа от внешнего магнитного поля. Из результатов эксперимента с помощью теоретического подхода, разработанного в работе [9] определено ток-фазовое соотношение в Nb-Cu-Nb структурах.

В ходе дальнейшей работы в рамках темы исследования будут изготовлены планарные гибридные джозефсоновские структуры сверхпроводник-топологический изолятор-сверхпроводник на основе тонкослойных образцов топологических изоляторов и сверхпроводящих ниобиевых электродов, а также структуры сверхпроводник-полупроводниковая нанопроволока-сверхпроводник, и проведено изучение особенностей зарядового транспорта и ток-фазовых соотношений в структурах.

Список используемой литературы

- [1] A.A. Golubov, M. Yu. Kupriyanov, E. Il'ichev The current-phase relation in Josephson junctions, *Rev. Mod. Phys.* **76**, 2004.
- [2] S. Hart *et. al.* Current-phase relations of InAs nanowire Josephson junctions: From interacting to multimode regimes, *Phys. Rev. B* **100**, 2019.
- [3] C. Kurter, A.D.K. Finck, Y.S. Hor D.J. Van Harlingen Evidence for an anomalous current–phase relation in topological insulator Josephson junctions, *Nat. Comm.* **6**, 2015.
- [4] S. Das Sarma *et. al.*, npj *Quantum Information* **1**, 15001, 2015.
- [5] Th. Shaepers «Superconductor/Semiconductor Junctions». *Springer Tracts in Modern Physics*, Springer Verlag, 2001.
- [6] Шмидт В.В. «Введение в физику сверхпроводников». *Лекционные курсы, МЦНМО*, 2000.
- [7] I.O.Kulik Macroscopic Quantisation and the Proximity Effect In S-N-S junctions, *Zh. Eksp. Teor. Fiz.* **57**, 1969.
- [8] J.C. Hammer, J.C. Cuevas, F.S. Bergeret, and W. Belzig Density of states and supercurrent in diffusive SNS junctions: role of nonideal interfaces and spin-flip scattering, *Phys. Rev. B* **76**, 2007.
- [9] Л. В. Гинзбург *et. al.* Определение ток-фазового соотношения джозефсоновских контактов с помощью несимметричного двухконтактного СКВИДа, *Письма в ЖЭТФ* **107**, 2018.
- [10] Т. Е. Голикова Эффект близости и когерентные явления в гибридных структурах сверхпроводник-нормальный металл-ферромагнетик, диссертация на соискание ученой степени кандидата физико-математических наук, Черноголовка, 2014.
- [11] J.P. Carbotte Properties of boson-exchange superconductors *Rev. Mod. Phys.* **62**, 1990.
- [12] F.S. Bergeret *et al.*, The Vortex State and Josephson Critical Current of a Diffusive SNS Junction *J. Low Temp. Phys.* **153**, 304, 2008.